

А. Я. ВОЛОДАРСКИЙ

(Новокузнецк)

ОПРЕДЕЛЕНИЕ ЧАСТОТНЫХ ХАРАКТЕРИСТИК
ИЗМЕРИТЕЛЬНОЙ СИСТЕМЫ
ПО ФУНКЦИЯМ ВОЗБУЖДЕНИЯ И ОТКЛИКА

Предлагается графический метод получения частотных характеристик исследуемых систем по известным функциям возбуждения и отклика. Доказывается возможность анализа осциллограмм, в результате которого можно получить амплитудно-частотную и фазо-частотную характеристики. Метод прост. Частотный диапазон получаемых характеристик практически не ограничен и не зависит от числа используемых ординат.

При исследовании частотных характеристик некоторых измерительных устройств (например, малочувствительных датчиков давления, работающих в жидкостях средах) встречается ряд принципиальных трудностей, связанных с созданием испытательных сигналов с необходимыми параметрами (крутизной нарастания, длительностью, интенсивностью и т. д.).

Для анализа подобных измерительных устройств предлагается графический метод определения амплитудно-частотных и фазо-частотных характеристик четырехполюсников, возбуждаемых импульсами произвольной формы. Частотные характеристики определяются путем сравнения спектральных плотностей $f(t)$ функций возбуждения и отклика.

Предлагаемый метод свободен от недостатков, присущих методам, основанным на гармоническом анализе (сравнительно узкий диапазон частот, отсутствие точек, лежащих между гармониками, и т. п.), и сведен к простым графическим построениям.

Пусть имеется непериодическая функция произвольной формы $f(t)$, отвечающая условиям Дирихле. Этую функцию можно аппроксимировать ломаной линией с достаточной степенью приближения. Для этого график функции (рис. 1) разбивается на n равных участков (отрезков времени). Количество участков определяется конфигурацией кривой и желательной степенью приближения.

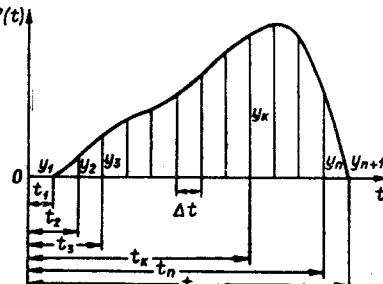


Рис. 1.

Тогда функция $f(t)$, существующая в пределах от t_1 до t_{n+1} , может быть представлена в виде суммы функций в пределах от $-\infty$ до $+\infty$

$$f(t) \Big|_{t_1}^{t_{n+1}} = f_0(t) \Big|_{-\infty}^{t_1} + f_1(t) \Big|_{t_1}^{t_2} + f_2(t) \Big|_{t_2}^{t_3} + \dots + f_k(t) \Big|_{t_k}^{t_{k+1}} + \dots + \\ + f_{n+1}(t) \Big|_{t_{n+1}}^{+\infty}. \quad (1)$$

Так как спектр суммы функций равен сумме спектров этих функций, то

$$S_{f(t)} = S_0 + S_1 + S_2 + \dots + S_k + \dots + S_{n+1}, \quad (2)$$

но

$$f_0(t) \Big|_{-\infty}^{t_1} = f_{n+1}(t) \Big|_{t_{n+1}}^{+\infty} = 0. \quad (3)$$

Следовательно,

$$S_0 - \int_{-\infty}^{+\infty} f_0(t) e^{-j\omega t} dt = 0; \quad (4)$$

$$S_{n+1} = \int_{-\infty}^{+\infty} f_{n+1}(t) e^{-j\omega t} dt = 0. \quad (5)$$

Спектры остальных функций $f_k(t)$ соответственно равны:

$$S_1 = \int_{-\infty}^{+\infty} f_1(t) e^{-j\omega t} dt = \int_{t_1}^{t_2} f_1(t) e^{-j\omega t} dt; \quad (6)$$

$$S_2 = \int_{-\infty}^{+\infty} f_2(t) e^{-j\omega t} dt = \int_{t_2}^{t_3} f_2(t) e^{-j\omega t} dt; \quad (7)$$

• •

$$S_k = \int_{-\infty}^{+\infty} f_k(t) e^{-j\omega t} dt = \int_{t_k}^{t_{k+1}} f_k(t) e^{-j\omega t} dt; \quad (8)$$

• • • • • • • • • • • • • • • • • • • •

$$S_n = \int_{-\infty}^{+\infty} f_n(t) e^{-j\omega t} dt = \int_{t_n}^{t_{n+1}} f_n(t) e^{-j\omega t} dt. \quad (9)$$

Тогда спектр рассматриваемой функции $f(t)$ определяется

$$S_{f(t)} = \sum_{k=1}^n S_k = \sum_{k=1}^n \int_{t_k}^{t_{k+1}} f_k(t) e^{-j\omega t} dt. \quad (10)$$

Но в результате аппроксимации на каждом участке функция представлена отрезком прямой (рис. 2). Следовательно,

$$f_k(t) = a_k t + b_k, \quad (11)$$

где a_k — угловой коэффициент;
 b_k — отрезок, отсекаемый прямой на оси ординат.

Тогда из (10) и (11)
 α некоторые участки нашей функции представляют собой спектр одиночного импульса, имеющего длительность Δt и ограниченного отрезком прямой $a_k t + b_k$. Пользуясь (8) и (11), вычислим этот спектр

$$S_k = \int_{t_k}^{t_{k+1}} (a_k t + b_k) e^{-j\omega t} dt. \quad (13)$$

После преобразования получим

$$S_k = \frac{e^{-jk\omega\Delta t}}{\omega} \left[e^{-j\omega\Delta t} \left(\frac{a_k}{\omega} + jy_{k+1} \right) - \left(\frac{a_k}{\omega} + jy_k \right) \right]. \quad (14)$$

Отсюда спектр всей функции $f(t)$ определяется

$$S_f(\omega) = \frac{1}{\omega} \sum_{k=1}^n e^{-jk\omega\Delta t} \left[e^{-j\omega\Delta t} \left(\frac{a_k}{\omega} + jy_{k+1} \right) - \left(\frac{a_k}{\omega} + jy_k \right) \right]. \quad (15)$$

Эта формула дает возможность быстро определить спектр функции произвольного очертания, заданной графически.

Имея заданные функции возбуждения $a(t)$ и отклика $\beta(t)$ системы, можно теперь найти их спектры, а следовательно, и частотную характеристику системы $K(j\omega)*$.

Следует помнить, что обе функции должны быть изображены в одном масштабе. Если же при анализе определяется и фазо-частотная характеристика, то следует соблюдать равенство Δt .

Итак, частотная характеристика системы равна

$$K(j\omega) = \frac{\sum_{k=1}^n e^{-jk\omega k \Delta t} \left[e^{-j\omega\Delta t} \left(\frac{a_{\beta_k}}{\omega} + jy_{\beta_k+1} \right) - \left(\frac{a_{\beta_k}}{\omega} + jy_{\beta_k} \right) \right]}{\sum_{k=1}^n e^{-jk\omega k \Delta t} \left[e^{-j\omega\Delta t} \left(\frac{a_{\alpha_k}}{\omega} + jy_{\alpha_k+1} \right) - \left(\frac{a_{\alpha_k}}{\omega} + jy_{\alpha_k} \right) \right]}. \quad (16)$$

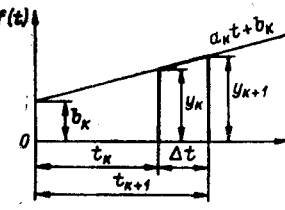


Рис. 2.

* А. А. Харкевич. Спектры и анализ. М., Физматгиз, 1962.

Эта формула определяет частотную характеристику системы, если графически заданы возмущение на входе и соответствующий отклик (реакция) на выходе системы. Модуль частотной характеристики (амплитудно-частотная характеристика) определяется отношением модулей числителя и знаменателя.

Фазо-частотная характеристика определяется разностью углов сдвига фаз векторов $\bar{\omega} S_\alpha(t)$ и $\bar{\omega} S_\beta(t)$

$$\varphi(\omega) = \varphi_\beta - \varphi_\alpha. \quad (17)$$

Таким образом, определение частотной характеристики сводится к нахождению векторов числителя и знаменателя на каждой частоте ω_i с последующим вычислением частного.

Так как структуры формул числителя и знаменателя одинаковы, то и процедура их определения одна и та же. Следовательно, чтобы избавиться от различительных индексов α и β , мы можем рассматривать определение некоего вектора как

$$\bar{\omega} S_f(t) = \sum_{k=1}^n e^{-j k \omega \Delta t} \left[e^{-j \omega \Delta t} \left(\frac{a_k}{\omega} + j y_{k+1} \right) - \left(\frac{a_k}{\omega} + j y_k \right) \right]. \quad (18)$$

Производим эквидистантное разбиение исследуемой функции на n участков вдоль оси времени (см. рис. 1). Ось ординат проводится на расстоянии, равном Δt , слева от начала $f(t)$:

$$\Delta t = \frac{T}{n}, \quad (19)$$

где T — протяженность кривой по оси времени;

n — количество участков, на которые разбита кривая.

Затем на графике функции измеряются величины y_k и y_{k+1} , определяются $\Delta y_k = y_{k+1} - y_k$ и заполняется табл. 1. После этого задаются частоты $f_1, f_2, f_3, \dots, f_i, \dots$ и высчитываются $\omega_1 \Delta t, \omega_2 \Delta t, \dots, \omega_i \Delta t, \dots$

Зная Δy_k и $\omega_i \Delta t$, определяем $\frac{a_k}{\omega}$:

$$\frac{a_1}{\omega_1} = \frac{\Delta y_1}{\omega_1 \Delta t}, \quad \frac{a_2}{\omega_1} = \frac{\Delta y_2}{\omega_1 \Delta t}, \dots, \quad \frac{a_n}{\omega_1} = \frac{\Delta y_n}{\omega_1 \Delta t} \text{ для } f_1$$

и аналогично для других заданных частот. Затем заполняется табл. 2.

В формуле (18) выражения, заключенные в круглые скобки, суть векторные суммы. Сумма $\left(\frac{a_k}{\omega_i} + j y_{k+1} \right)$ изображена в виде векторной диаграммы на рис. 3, а. Так как действительные части векторных сумм одинаковы, то диаграммы этих сумм могут быть совмещены (см. рис. 3, б).

Для изображения $e^{-j \omega_i \Delta t} \left(\frac{a_k}{\omega_i} + j y_{k+1} \right)$ нужно векторную сумму $\left(\frac{a_k}{\omega_i} + j y_{k+1} \right)$ повернуть по часовой стрелке на угол $\omega_i \Delta t$ (см. рис. 3, в). На следующей диаграмме (см. рис. 3, г) определяется векторная разность

$$\bar{M} = \left[e^{-j \omega_i \Delta t} \left(\frac{a_k}{\omega_i} + j y_{k+1} \right) - \left(\frac{a_k}{\omega_i} + j y_k \right) \right]. \quad (20)$$

Таблица 2

Таблица 1				f_1	f_2	f_3			
k	y_k	y_{k+1}	Δy_k	ω_1	$\omega_1 \Delta t$	ω_2	$\omega_2 \Delta t$	ω_3	$\omega_3 \Delta t$
1	y_1	y_2	Δy_1	$k \omega_1 \Delta t$	$\frac{a_k}{\omega_1} = \frac{\Delta y_k}{\omega_1 \Delta t}$	$k \omega_2 \Delta t$	$\frac{a_k}{\omega_2} = \frac{\Delta y_k}{\omega_2 \Delta t}$	$k \omega_3 \Delta t$	$\frac{a_k}{\omega_3} = \frac{\Delta y_k}{\omega_3 \Delta t}$
2	y_2	y_3	Δy_2	$1 \omega_1 \Delta t$	$\frac{\Delta y_1}{\omega_1 \Delta t}$	$1 \omega_2 \Delta t$	$\frac{\Delta y_1}{\omega_2 \Delta t}$	$1 \omega_3 \Delta t$	$\frac{\Delta y_1}{\omega_3 \Delta t}$
3	y_3	y_4	Δy_3	$2 \omega_1 \Delta t$	$\frac{\Delta y_2}{\omega_1 \Delta t}$	$2 \omega_2 \Delta t$	$\frac{\Delta y_2}{\omega_2 \Delta t}$	$2 \omega_3 \Delta t$	$\frac{\Delta y_2}{\omega_3 \Delta t}$
4	y_4	y_5	Δy_4	$3 \omega_1 \Delta t$	$\frac{\Delta y_3}{\omega_1 \Delta t}$	$3 \omega_2 \Delta t$	$\frac{\Delta y_3}{\omega_2 \Delta t}$	$3 \omega_3 \Delta t$	$\frac{\Delta y_3}{\omega_3 \Delta t}$
				$4 \omega_1 \Delta t$	$\frac{\Delta y_4}{\omega_1 \Delta t}$	$4 \omega_2 \Delta t$	$\frac{\Delta y_4}{\omega_2 \Delta t}$	$4 \omega_3 \Delta t$	$\frac{\Delta y_4}{\omega_3 \Delta t}$
n	y_n	y_{n+1}	Δy_n	$n \omega_1 \Delta t$	$\frac{\Delta y_n}{\omega_1 \Delta t}$	$n \omega_2 \Delta t$	$\frac{\Delta y_n}{\omega_2 \Delta t}$	$n \omega_3 \Delta t$	$\frac{\Delta y_n}{\omega_3 \Delta t}$

$f \rightarrow$

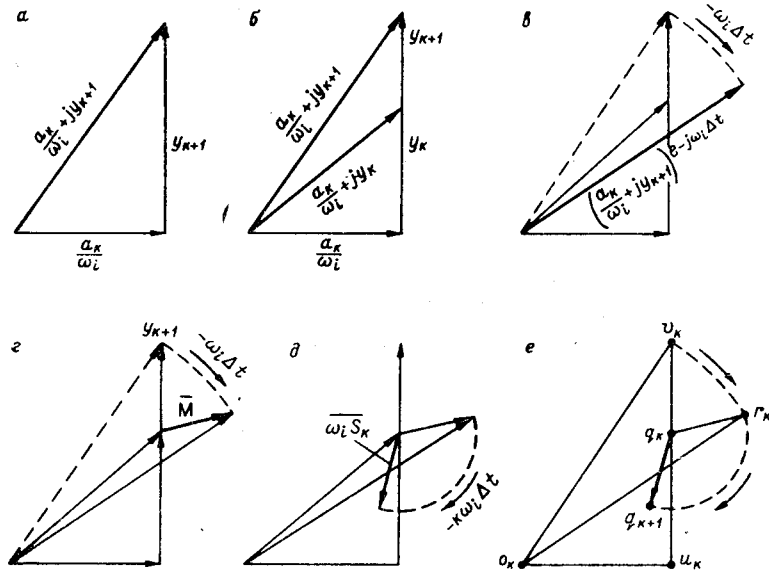


Рис. 3.

Поворачивая вектор \bar{M} вокруг своего начала по часовой стрелке на угол $k \omega_i \Delta t$, получим вектор (см. рис. 3, д)

$$\begin{aligned} \overline{\omega_i S_k} = e^{-jk\omega_i \Delta t} \bar{M} &= e^{-jk\omega_i \Delta t} \left[e^{-j\omega_i \Delta t} \left(\frac{a_k}{\omega_i} + jy_k + \right) - \right. \\ &\quad \left. - \left(\frac{a_k}{\omega_i} + jy_k \right) \right], \end{aligned} \quad (21)$$

который является одним из n слагаемых искомой векторной суммы $\overline{\omega_i S_{f(t)}}$. Слагаемые $\overline{\omega_i S_1}, \overline{\omega_i S_2}, \dots, \overline{\omega_i S_n}$ удобнее всего получать так, чтобы не требовалось их переносить и чтобы после окончания построения вектора $\overline{\omega_i S_n}$ достаточно было соединить начало $\overline{\omega_i S_1}$ с концом $\overline{\omega_i S_n}$ для получения векторной суммы $\overline{\omega_i S_{f(t)}}$ (рис. 4). Для этого все построение следует производить так, чтобы конец вектора

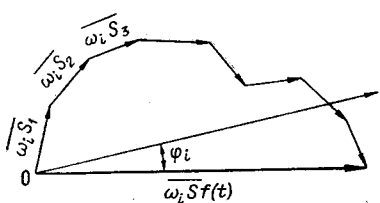


Рис. 4.

jy_k (начало вектора $\overline{\omega_i S_k}$) совпадал с концом предыдущего вектора $\overline{\omega_i S_{k-1}}$ (точка q_k на рис. 3, е), а конец вектора jy_{k+1} (в построении для $\overline{\omega_i S_{k+1}}$) совпадал с концом вектора $\overline{\omega_i S_k}$ (точка q_{k+1}) и т. д. Таким образом, каждое построение вектора начинаем, задаваясь положением его начала — точкой q_k . Че-

рез точку q_k проводим вертикально отрезок прямой. От точки q_k вниз откладываем величину y_k (точка u_k), от точки u_k вверх — величину y_{k+1} (точка v_k).

Через точку u_k проводим горизонтальную прямую, на которой влево откладываем ранее вычисленную величину $\frac{a_k}{\omega_i}$ (точка o_k). Отрезок

$o_k v_k$ вокруг точки o_k , как вокруг центра, поворачиваем по часовой стрелке на угол, равный $\omega_i \Delta t$ (точка r_k). Отрезок $q_k r_k$ вокруг точки b_k , как вокруг центра, поворачиваем по часовой стрелке на угол, равный $k \omega \Delta t$. Получаем точку q_{k+1} . Отрезок $q_k q_{k+1}$ является искомым вектором $\overline{\omega_i S_k}$, направленным к точке q_{k+1} . Точка q_{k+1} , являясь концом вектора $\overline{\omega_i S_k}$, одновременно является началом вектора $\overline{\omega_i S_{k+1}}$, для получения которого проводится аналогичное построение. Здесь все построения проводились с учетом того, что величины $\frac{a_k}{\omega_i}$, y_k и y_{k+1} являются положительными. Отрицательные величины, естественно, следуют откладывать в противоположные стороны.

После определения $\overline{\omega_i S_n}$ — последнего из векторов $\overline{\omega_i S_k}$ на данной частоте ω_i — проводим замыкающий вектор $\overline{\omega_i S_{f(t)}}$ (см. рис. 4).

Проводя описанную выше операцию с обеими кривыми $\alpha(t)$ и $\beta(t)$, находим:

$$\overline{\omega_i S_{\alpha(t)}} = \sum_{k=1}^n \overline{\omega_i S_{\alpha_k}}; \quad (22)$$

$$\overline{\omega_i S_{\beta(t)}} = \sum_{k=1}^n \overline{\omega_i S_{\beta_k}}. \quad (23)$$

Тогда коэффициент передачи по частоте ω_i равен

$$K_i(j\omega) = \frac{\overline{\omega_i S_{\beta}(t)}}{\overline{\omega_i S_{\alpha}(t)}} = \frac{|\overline{\omega_i S_{\beta}(t)}| e^{-j\varphi_{\beta_i}}}{|\overline{\omega_i S_{\alpha}(t)}| e^{-j\varphi_{\alpha_i}}} = K_i(\omega) e^{-j(\varphi_{\beta_i} - \varphi_{\alpha_i})}. \quad (24)$$

Здесь $K_i(\omega) = \frac{|\overline{\omega_i S_{\beta}(t)}|}{|\overline{\omega_i S_{\alpha}(t)}|}$ — амплитудно-частотная характеристика;
 $\varphi_i(\omega) = \varphi_{\beta_i} - \varphi_{\alpha_i}$ — фазо-частотная характеристика.

Повторяя определение величин $K_i(\omega)$ и $\varphi(\omega)$ для ряда частот, можно получить частотные характеристики исследуемой системы.

В В О Д Ы

Рассмотренный метод прост и пригоден для практического исследования.

Метод не накладывает ограничений на частотный диапазон исследования системы, а частоты, для которых определяется коэффициент передачи, могут распределяться как угодно неравномерно по всему частотному диапазону.

К форме и стабильности испытательных импульсов особых требований не предъявляется. Это положение значительно упрощает конструирование установок для снятия частотных характеристик измерительных систем.

Поступила в редакцию
17 сентября 1965 г.,
окончательный вариант —
11 апреля 1966 г.